

248619

金属学与热处理文集

第 1 集

金属学与热处理文集

冷轧矽钢片的热处理与性能

冶金工业部钢铁研究院 编

14
0;0

冶金工业出版社

金屬學与熱處理文集

第1輯

冷軋矽鋼片的熱處理與性能

冶金工業部鋼鐵研究院 譯

冶金工業出版社

金屬學与熱處理文集第1輯
冷軋矽鋼片的熱處理與性能
冶金工業部鋼鐵研究院 譯
編輯：謝振蓮 設計：周廣童 照卷 檢對：馬泰安

冶金工業出版社出版(北京市西單45號)
北京市書刊出版局審定准許0938
北京西四印刷厂印 新華書店發行

1959年5月第1版
1959年5月北京第一次印制
尺幅 8开本 精
850×1160·1/32·16,000字·印制600
统一書号 15062·1663 定价 0.80元

前　　言

矽鋼片是電機工業、電訊工業、國防工業以及精密儀表製造工業中不可缺少的材料。它對國民經濟具有重大的意義，特別是在目前全國大躍進之際，党中央提出全國電氣化、全民辦電的任務後，矽鋼片顯得更加重要了。由於矽鋼片供不應求，今年產量計劃翻一番，全國各地根據土洋結合的方針，各處都將生產矽鋼片。

我們編譯“矽鋼片譯叢”的目的，是为了將最近國外有關這方面較重要的資料介紹給從事于矽鋼片生產的以及使用這種材料的同志，希望能對他們的工作有些幫助。這一冊的重點偏重于有關冷軋變壓器和冷軋電機鋼的資料，其中共包括廿篇文章。

第一篇是綜合性文章，作者敘述了變壓器鋼片的最近發展情況，介紹了熱軋、半冷軋和冷軋矽鋼片，着重的說明冷軋變壓器鋼的特性，退火對磁性的影响以及再結晶組織的形成等問題，最後也簡單地介紹了立方組織矽鋼片。

第二篇是關於冷軋變壓器鋼的性能、發展情況以及在電機方面的應用。

第三篇到第七篇的主要內容是冷軋變壓器鋼的冷加工和再結晶組織的研究，其中包括冷軋、中間退火和最後退火時組織的變化情況。

第八篇到第十三篇是關於冷軋變壓器鋼的化學成分、冷軋變形以及其他生產工藝方面的一些問題。

第十四篇到第十八篇介紹了冷軋電機鋼的生產工藝方面的一些資料，這種具有低晶粒取向的矽鋼片最近在蘇聯已引起了很大的注意。

第十九篇是矽鋼片高溫退火時所採用的塗料對磁性的影响，
這是有關塗料問題很重要的一篇參考材料。

第二十篇介紹了整張鋼板測量矽鋼片磁性的裝置及測量方法。

此外有兩篇蘇聯的最近資料較具體地介紹了冷軋變壓器鋼的
生產工藝，已在期刊上刊登，現介紹如下：

1. A. И. 別雅柯夫：冷軋變壓器鋼的生產。見鋼鐵譯叢 1957
年 7 期，35 頁。

2. И. И. 舍弗捷里：冷軋變壓器鋼的生產，見國際新技術通
訊（黑色冶金），1957 年 4 期，32 頁。

出版者的話

在党的社会主义总路綫光輝照耀下，我国冶金工業获得空前的發展。冶金工作者对各專業的圖書資料的要求日益增長。为了滿足金屬學及热处理工作人員的需要及弥补圖書之不足，我社今后將出版一套“金屬學与热处理文集”。

这一套文集包括金屬學及各种鋼的热处理和鋼的性能，按不同內容，分冊出版。

本書介紹冷軋矽鋼片的热处理与性能，适合矽鋼片的生产、使用和研究人員閱讀。

本書由冶金工業部鋼鐵研究院戴礼智、何志治、張信鉅、王建綱、史通、孙学範、周宗全、張傳历及張新华同志譯校。

目 录

第一篇	变压器鋼的發展和生產現狀	G. 勒斯曼.....	1
第二篇	新的磁性材料和它对于工業發展的 重要性	K. 薛克斯都司.....	26
第三篇	鐵和鈦矽合金中冷軋及再結晶織構的 研究.....	K. B. 格里高洛夫, Г. П. 勃洛欣, Э. А. 柯爾宗, М. Я. 扎庫特涅爾.....	33
第四篇	冷軋變壓器鋼退火時的織構形成	Л. В. 米羅諾夫.....	48
第五篇	論最後退火時加熱速度和冷卻速度對冷 軋變壓器鋼獲得再結晶織構的影響	В. В. 德魯日寧, В. А. 柯羅列娃.....	57
第六篇	中間退火對冷軋和再結晶織構的影響	К. В. 格利高羅夫, Г. П. 勃洛欣.....	67
第七篇	聚集再結晶對初次再結晶織構的影響	К. В. 格利高羅夫, Г. П. 勃洛欣, Э. А. 柯爾宗.....	74
第八篇	變壓器鋼冷軋變形性的研究	Г. П. 舒賓, В. А. 沙布林, Н. И. 拉普金.....	80
第九篇	晶粒取向矽鋼片.....	Н. Р. 戈斯.....	86
第十篇	杂质對冷軋 3 % 矽鋼再結晶織構的影響	Д. Д. 法斯特.....	96
第十一篇	冷軋變壓器鋼.....	А. П. 高利德曼, Е. С. 切爾諾勃洛夫金娜, Р. М. 格羅勃曼.....	98
第十二篇	冷軋變壓器鋼生產時的脫碳	А. И. 別雅科夫, А. А. 羣費多夫.....	108

第十三篇	冷軋變壓器鋼試樣邊緣的加工硬化對电磁 性能的影响	A. H. 别雅科夫	110
第十四篇	低織構冷軋電工鋼		
A. A. 拉斯托爾吉也夫, A. A. 詈費多夫	117	
第十五篇	1.0 毫米厚的冷軋電工用鋼		
A. M. 別雅科夫, A. A. 詈費多夫, M. C. 西馬柯娃	134	
第十六篇	冷軋電機鋼卷的熱處理		
M. И. 柯洛夫, A. И. 捷列雷娃	139	
第十七篇	冷軋電機鋼	H. И. 拉普金, H. Ф. 杜布洛夫	157
第十八篇	重結晶對低碳鋼和電機鋼織構的影響		
K. B. 格里高洛夫,		
Г. П. 勃洛欣, M. Я. 扎庫特涅爾	165	
第十九篇	尋找提高變壓器鋼質量的化學活性塗料		
H. И. 拉普金	171	
第二十篇	在整張鋼板上測定電機鋼或變壓器鋼電磁 性能的裝置	A. Д. 索柯洛夫, P. И. 雅努斯	183

變壓器鋼的發展和生產現狀

G. 勒 斯 曼

熱軋鋼片的性能——冷軋後的影響——具有鐵
構的冷軋鋼片——退火溫度和退火氣氛對磁性
的影響——再結晶與結構的形成。

鐵-矽合金用作電機和變壓器材料約有 50 年。目前世界矽鋼
年產量大約為 80—100 萬噸。顯然，這種鋼片的性能和生產工藝
的每一進展都具有極其重大的經濟意義。

下面將概略地敘述熱軋和冷軋變壓器鋼片的性能，並將在生
產工藝上所獲得的數值與試驗室的數據作一對照，以便為今後的
發展提供依據。

1. 變壓器鋼片種類和性能的概述

表 1 線述了 0.35 毫米厚的變壓器鋼片的磁性。

按照矽鋼的生產工藝可分為三類：

- 1) 热軋鋼片；
- 2) 热軋後經過冷軋的鋼片*；
- 3) 冷軋鋼片。

熱軋鋼片的性能幾乎沒有方向性，但半冷軋鋼片具有弱的磁
性和機械性能的各向異性，而冷軋鋼片則具有強的磁性和機械
性能的各向異性。上述的這種各向異性僅在一個方向上能獲得最好

* 此類鋼片我們稱為“半冷軋”鋼片——譯者註。

表 1

0.35 毫米厚的变压器钢片的磁性

种 类	矽心损失 [*] 瓦/公斤				磁 感*			P 值 : P 纵		所获得之良好值	
	P ₁₀	P ₁₅	P ₁₇	B ₆	B ₁₀	B ₂₅	B ₃₀₀	P ₁₀	B ₁₀	H _C	P ₁₀
热 轧											
N 1.5 Si ~ 3.9	1.3	3.5		12300	13400						1100°C
N 1.1 C ≥ 0.07	1.1	2.7	—	12500	13500	14500	18500	1.1:1.0	0.65	14300	0.18
N 1.0 Si 4.5	1.0	2.5		12900	13700						氢气退火
半冷轧											
	0.85	—	—	—	—	—	—	1.15:0.81			
	—	—	—	—	—	—	—	(Müllinghaus)	0.68	15300	0.17
	1.19	—	—	—	—	—	—				1100°C
冷 轧											
	0.7	1.6	2.3	—	16300	—	—	1.5:0.7			
	—	—	—	—	—	—	—				1170°C
Si ~ 3%	0.45	1.0	1.8	—	18300	—	—	0.42	18500	0.08	氢气退火

* 按照德国工业标准 45-400。

的性能，因此应用这种钢片制造变压器时必须考虑铁心的构造。

表 1 首先指出冷轧钢片的铁损最好，同样对于特别是在低磁场内能达到的磁感也是如此。将这三类钢片的生产平均值和试验室得出的数值作一比较，便可看出热轧钢片的铁心损失还可大大改善，而在试验室内得出的冷轧钢片的最好值与生产值则相差无几。

因此对热轧钢片来说想在生产上进一步发展，就要求根本改变生产工艺，而对冷轧钢片只要求保证良好值和降低工艺上的费用。

为了指出所要求采取的方法，必须说明磁性和材料之间的关系。

2. 材料和磁性

按照现在的概念，一种铁磁材料是由單个的自發磁化区（磁畴）所组成。它们最初排列与外界不发生磁的效应。一旦外磁场产生作用时，單区的自發磁化便逐渐趋向于磁场方向。这种过程产生在开始磁化时以及通常的磁感与外界磁场强度的关系曲线图中形成新的曲线^{*}，如果在循环磁化时则形成磁带迴线。

促使自發磁化方向的改变，基本上有兩种可能性：

1) 磁壁移动：

由于两个磁畴之间的壁 (Bloch 壁) 的移动，使对于外磁场不适当取向的磁畴消失，因此一个磁畴便依靠它的鄰近磁畴而生长。

2) 转动过程：

如果自發磁化对于外磁场的不适当取向没有能因为磁壁的移动而使感应增加，那么代替磁壁移动便要發生轉动过程。在磁畴

* 此曲线，现通称为“起始磁化曲线”——譯者註。

体积不改变的情况下，自發磁化的方向便向外磁场的方向內轉動。

在轉動过程中所需的能量比壁移动所需的能量大，因此当外磁场發生作用时总是壁移动首先进行。自發磁化和产生壁移或轉动过程所必需的能量等等，都可归到材料数据上面，从而便可找出材料和磁性之間的关系。

决定材料的数据，特別对磁性有影响的是：

1) 化学成份（原子量、原子特性及其排列决定磁饱和 $4\pi I_s$ ，晶格能 E_f ，和饱和磁致伸縮 λ ）。

2) 組織內所含“相”量及性能（均匀組織大多产生軟磁性，相反的不均匀組織則产生硬磁性）。

3) 晶体結構缺陷（晶粒边界、位錯、外原子的插入等能使矯頑力增加、磁滯損失升高以及磁感降低）。

4) 晶体取向（鑄造纖構、軋制纖構和再結晶纖構产生磁的各向異性）。

5) 磁疇的排列（晶粒取向，应力分佈等决定自發磁化方向的分佈和磁滯迴線的形式）。

3. 由鐵-矽合金制造的电工鋼片

鐵-矽合金相圖指出一个被包围的 γ -区，含矽 $> 2.5\%$ 的合金沒有相变，在热处理时所产生 $\alpha \rightarrow \gamma$ 相变扰乱了相宜的变压器片組織之形成，所以具有較好性能的矽鋼片均使用含矽量大于 2.5% 。由于碳作为鋼中杂质存在，其含量大概有 $0.02 \sim 0.07\%$ ，因而 γ -区的界限，以及無相变合金均向着較高矽含量方面移动。

含矽量增加，磁饱和降低，而机械性能也变坏，因此含矽量大于 4.5% 的鋼片在制造变压器时很难应用。含 6% 矽的單晶体經過磁场处理后可以达到特別高的磁感 ($I_{max} = 4 \times 10^6$ 高斯/奥)。虽然已經能成功地將此类合金加工成鋼片，但是此种成份的合金

并未获得工业上的应用。

3.1. 热轧电工钢片

关于冶炼方面的影响已由 Fellcht 和 Kutschier [1] 叙述过，此外，最后热处理对这种材料的磁性是特别重要的。下文谈到作者本人的研究结果。首先研究了一般成份的热轧矽钢片经过最后退火温度后磁性的影响。退火是在电炉内进行的（图 1）。

铁损值是指对于 600° — 900°C 的退火温度范围而言。退火前热轧钢片的纵向和横向*的 P_{10} 各为 3.5 和 3.7 瓦/公斤。退火温度在 600° 和 700°C 间 P_{10} 从 2.5 瓦/公斤左右下降到 1.1 瓦/公斤（纵向）和 1.3 瓦/公斤（横向）。从 700° 到 800°C 铁损变化不大，

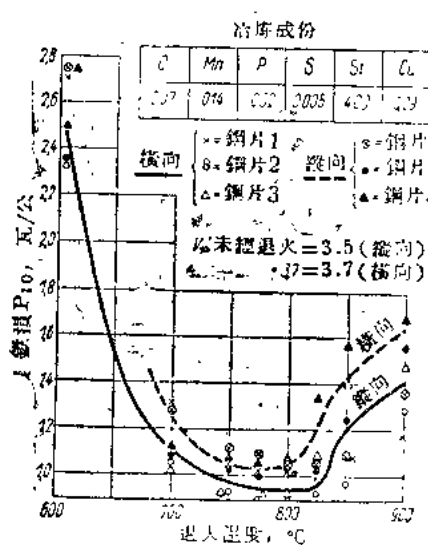


圖 1 热轧钢片 P_{10} 与退火温度的关系

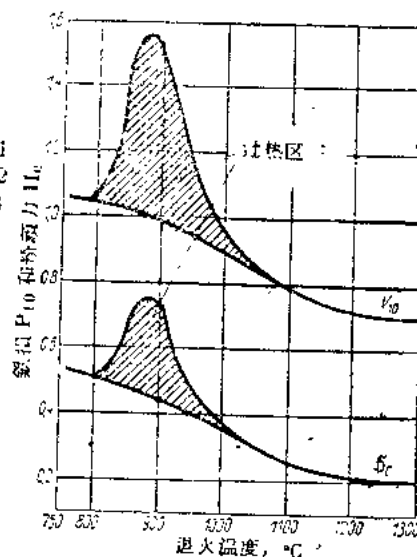


圖 2 热轧钢片 P_{10} 和 H_c 与退火温度的关系

* 钢片的纵向即为钢片的轧制方向；钢片的横向即与钢片轧制方向成 90° 的方向——译者注。

而最好鐵損值為 0.9 瓦/公斤。當加熱溫度升高到 900°C 時， P_{10} —1.4 (縱向) 和 1.6 (橫向)。超過退火溫度 800° 鐵損的增加現象稱為變壓器鋼片過熱現象。但這並非在每一情況下都如此。這種現象的產生與多相析出的發生有關，或者與一種由於含碳過高所引起的 $\alpha \rightarrow \gamma$ 相變有關。

圖 2 是熱軋矽鋼片幾種試驗在 750°C 到 1300°C 在氫氣內加熱後的研究結果。 P_{10} 和 H_c 與退火溫度的關係具有類似的傾向。在過熱區鐵損的增加是 H_c 增加的原因。如果鐵損增加原因是由於退火時所產生的 $\alpha \rightarrow \gamma$ 相轉變，或是由於多相析出的形成的話，則凡是不會發生這兩種現象的材料就沒有發生 H_c 增加的現象。此點能通過下列試驗加以證明。即在真空中再次熔化軟鐵，含碳量由原來的 0.05% 降到 0.001%。以相同的工藝處理(熱軋)，將這種重新經過真空中熔化的和沒有經過真空中熔化的

鋼片同時進行最後退火處理。所獲得的 H_c 與退火溫度關係見圖 3。

沒有經過真空中熔煉的鋼片在 900°C 時產生劇烈的上升，而經過真空中熔的鋼片却完全沒有產生 H_c 的上升。這對熱軋鋼片工藝改善的意義就在於最後熱處理時在加熱到 800°C 之前碳含量不得大於 0.002%，否則對於鋼片磁性不利的再結晶就會產生。但現在這種條件還不能滿足，因為通常在最後

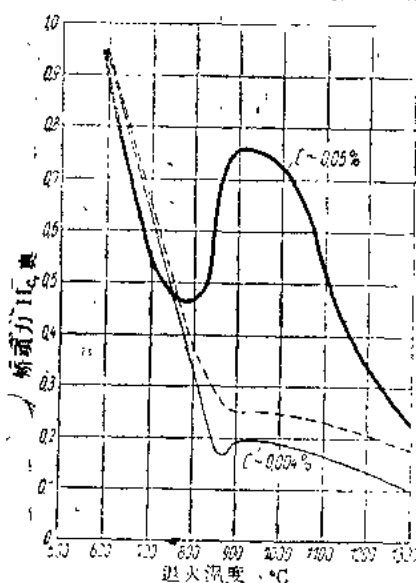


圖 3 不同純度純鐵的 H_c 與退火溫度的關係

退火后热轧钢片的碳含量常在0.04%到0.06%之间。

圖2指出在氩气内退火，温度增加到1200~1300°C时，热轧钢片的铁损 P_{10} 也可能达到0.7瓦/公斤。

通过熔炼或退火工艺的措施，含碳量的下降以及退火温度的增高，热轧变压器钢片能改善它的磁性。此外铁损的下降，磁感的升高在电机工业上也是很有意义的。这可由晶粒具有一定的取向来达到。此时在所有晶粒内易磁化方向须与外磁场的方向相符。此类材料在这样方向内表示出一种矩形磁滞回线。通过冷轧工艺能得到晶粒取向钢片（下面将要叙述）。经过合适的热轧工艺也可达到一定程度的晶粒取向，如圖4所示。这里特别大的晶粒具有(110)平面平行于轧面和[001]方向沿着轧向约有30°的漫散。

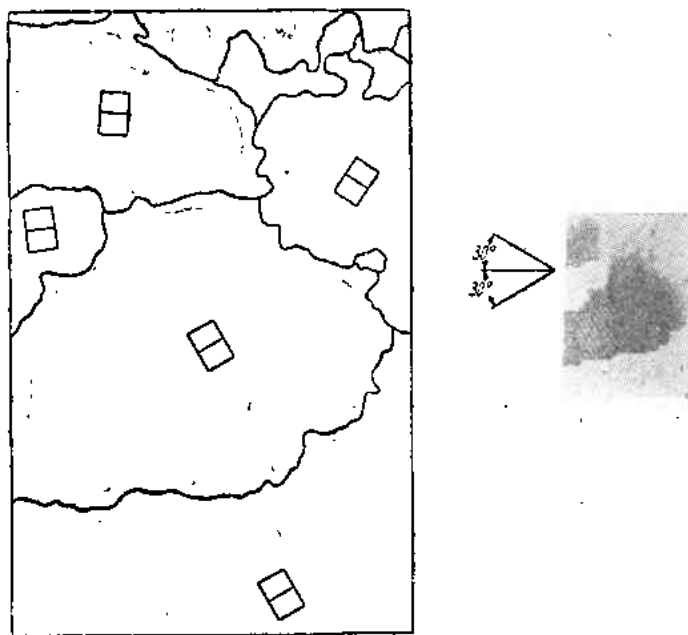


圖4 具有大晶粒的热轧钢片

3.2. 半冷軋电工鋼片

按照美國[2]資料，在最後熱處理前的半冷軋鋼片的磁性較熱軋鋼片有所改善。

3% 砂鋼熱軋到 0.5 毫米厚，再冷軋到 0.35 毫米，在最後退火後產生了一種弱的組織，在縱向上和橫向上的鐵損比例為 0.8:1.3，在縱向上的磁感 $B_{10}=15900$ 高斯。根據表 1，這種數值是熱軋鋼片所達不到的。上述方法乃代表一種進步。

下面我們作了一系列的試驗，對於含矽 3.1% 和 4.5% 合金，研究了 0.5 毫米冷軋到 0.35 毫米的影響。熱軋鋼片進行或不進行退火。最後退火溫度在 800 到 1300° 間。下列各種不同方法處理的鋼片都在氬氣中退火：

- 1) 热軋 0.5 毫米鋼片；
- 2) 热軋 0.35 毫米鋼片；
- 3) 从 0.5 毫米冷軋到 0.35 毫米鋼片；
- 4) 热軋 0.5 毫米鋼片，在 750°C 氬氣退火 5 小時，冷軋到 0.35 毫米；
- 5) 热軋 0.5 毫米鋼片，在 750°C 氬氣退火 5 小時，再在 1130 °C 退火 3 小時，冷軋到 0.35 毫米。

在最後退火後，兩種合金所達到的磁感（在 10 安/厘米）和 H_c 如表 2 和表 3 所示。

對於 3.1% 砂鋼，冷軋的影響表現在磁感 B_{20} 的升高。在低溫最後退火後情況下比高溫的要顯著。與 0.35 毫米熱軋鋼片相比較， B_{10} 大約從 14000 升高到 15350 高斯。在熱軋和冷軋之間的中間退火影響不大。在最後退火後所能達到的 H_c 主要是由退火溫度決定，其他的預先處理影響較小。僅在 1130°C 中間退火情況下，即使最後退火溫度較低（880°C）， H_c 也比在其它預

半冷轧变压器钢片从 0.5 毫米冷轧到 0.35 毫米对 B_{10}
和 H_C 的影响

表 2

最后退火 温度°C (氢气)	Fe-Si(3.1%Si) 在最后退火前的工艺制度						750°C, 5 小时 氢气从 0.5 毫米冷 轧到 0.35 毫米		750°C, 5 小时加 1130°C, 3 小时 氢气从 0.5 毫米冷 轧到 0.35 轧米	
	热轧 0.5 毫米		热轧 0.35 毫米		从 0.5 毫米冷 轧到 0.35 毫米		B ₁₀		H _C	
	B ₁₀	H _C	B ₁₀	H _C	B ₁₀	H _C	B ₁₀	H _C	B ₁₀	H _C
800 6h	15 100	0.41	13850	0.49	15150	0.53	15350	0.49	15050	0.51
880 6h	14 100	0.51	13850	0.45	15150	0.46	15100	0.43	15100	0.35
1000 6h	14 100	0.36	14400	0.35	15150	0.40	15100	0.36	14850	0.32
1150 6h	14 900	0.34	14000	0.27	14950	0.24	14900	0.28	14800	0.24
1300 6h	13 800	0.27	13400	0.25	14600	0.29	14750	0.29	14400	0.35

B_{10} =磁感 10 安/厘米。

半冷轧变压器钢片从 0.5 毫米冷轧到 0.35 毫米对 B_{10}
和 H_C 的影响

表 3

最后退火 温度°C (氢气)	Fe-Si(4.5%Si) 在最后退火前的工艺制度						750°C, 5 小时 氢气从 0.5 毫米冷 轧到 0.75 毫米		750°C 5 小时加 1130°C 3 小时 氢气从 0.5 毫米冷 轧到 0.35 毫米	
	热轧 0.5 毫米		热轧 0.35 毫米		从 0.5 毫米冷 轧到 0.35 毫米		B ₁₀		H _C	
	B ₁₀	H _C	B ₁₀	H _C	B ₁₀	H _C	B ₁₀	H _C	B ₁₀	H _C
800 6h	14600	0.35	13800	0.39	15000	0.55	14900	0.40	14400	0.30
880 6h	14450	0.33	13900	0.36	14950	0.32	14550	0.34	13000	0.31
1000 6h	14300	0.32	14100	0.30	14950	0.36	15000	0.33	14300	0.22
1150 6h	13950	0.22	13750	0.28	14900	0.21	14850	0.24	14100	0.24
1300 6h	13850	0.25	13800	0.23	14450	0.25	14200	0.24	14100	0.22

B_{10} =磁感 10 安/厘米。